

海枣曲霉 β -葡萄糖苷酶的催化性质

曾宇成 张树政

(中国科学院微生物研究所, 北京 100080)

本文研究了海枣曲霉 (*Aspergillus phoenicis*) β -葡萄糖苷酶的底物特异性以及不同化学试剂对酶活力的影响。该酶水解对-硝基酚基- β -葡萄糖苷、纤维二糖和水杨素的相对活力分别为 100、180 和 67.3。水解对-硝基酚基 β -葡萄糖苷和纤维二糖的 K_m 值分别为 0.97mmol/L 和 1.8mmol/L, V_{max} 分别为 $576\mu\text{mol}\cdot\text{min}^{-1}\cdot\text{mg}^{-1}$ 和 $595\mu\text{mol}\cdot\text{min}^{-1}\cdot\text{mg}^{-1}$ 。 Ag^+ 、D-葡萄糖和纤维二糖对酶活力有强烈的抑制作用。Lineweaver-Burk 作图法及 Dixon 作图法表明 D-葡萄糖对该酶显示竞争性抑制作用, 其 K_i 值分别为 3.0mmol/L 和 3.4mmol/L。

关键词 海枣曲霉; β -葡萄糖苷酶; 底物特异性; 抑制剂

前文已报道了海枣曲霉 β -葡萄糖苷酶的提纯与性质^[1]。本文报道该酶的催化性质。

材料和方法

(一) 菌种

海枣曲霉 (*Aspergillus phoenicis*) AS 3.3143^[1]。

(二) 主要化学试剂

纤维二糖, Fluka 产品。水杨素, B.D.H 产品。D-木糖, E.Merk 产品。对-硝基酚基- β -葡萄糖苷 (pNP- β -glc) 及其它对-硝基酚基- α 或 β -糖苷、D-葡萄糖- γ -内酯等均为 Sigma 公司产品。 β -1,2-葡聚糖、昆布多糖 (β -1,3-葡聚糖)、地衣多糖 (β -1,3-1,4-葡聚糖) 及石脐素等为 Miles 公司何方先生赠送。其余均为国产试剂。

(三) 酶的制备与提纯

按前文方法进行^[1]。

(四) 酶活力测定

以 pNP- α 或 β -糖苷为底物时, 测定方法同文献 [2], 水解不同底物的其余反应条件与测定方法与文献 [3] 相同。

(五) 各种化学试剂对酶活力的影响

分别将各种金属离子或碳水化合物 (10—100mmol/L) 等试剂 50 μl , pH5.0 的 0.1mol/L 柠檬酸-Na₂HPO₄ 缓冲液 200 μl , 酶液 150 μl 混合, 室温放置 30 分钟后, 加 pNP- β -葡萄糖苷 100 μl , 按常法测定酶活力。

结 果 和 讨 论

(一) 金属离子及其他化合物对酶活力的影响

在所测定的各种试剂中, Ag^+ 对 β -葡萄糖苷酶有强烈的抑制作用。 Hg^{2+} 的抑制作用较弱, 4mol/L 脲对酶活力也有一定的抑制作用。 Cu^{2+} 、 Pb^{2+} 、EDTA 和 SDS 等常见的抑制剂对酶活力无明显影响(表 1)。表明该酶对金属离子不敏感, 其活力不需金属离子。

表 1 各种化学试剂对 β -葡萄糖苷酶活力的影响

Table 1 Effect of various chemicals on the activity of β -glucosidase

化学试剂 Chemicals	浓 度 Concn.(mmol/L)	相对活力 Relative activity (%)
对照 Control	—	100
AgNO_3	1	7.8
HgCl_2	1	53.8
AlCl_3	1	101.9
BaCl_2	1	97.1
CaCl_2	1	96.3
MnCl_2	1	90.3
CuSO_4	1	102.2
ZnSO_4	1	99.3
PbAc_2	1	92.4
SDS	10	94.7
Urea	4×10^3	41.8
	1×10^3	78.9
EDTA	1	98.0

(二) 碳水化合物对酶活力的影响

测定结果表明, β -葡萄糖苷酶受其产物 D-葡萄糖和底物纤维二糖的强烈抑制。水杨素、D-葡萄糖酸- γ -内酯对该酶的抑制作用较弱, 甘油及所测定的其他碳水化合物对该酶活力无明显影响(表 2)。据报道, D-葡萄糖对土曲霉 (*Aspergillus terreus*)^[4]、齐整小核菌^[5] (*Sclerotium rolfsii*) β -葡萄糖苷酶均有较强的抑制作用, 这与本试验结果一致。D-葡萄糖酸- δ -内酯对齐整小核菌、粉状侧孢霉 (*Sporotrichum pulverulentum*)^[6] 等的 β -葡萄糖苷酶均有极强的抑制作用, 我们所试的 D-葡萄糖酸- γ -内酯对海枣曲霉 β -葡萄糖苷酶的抑制作用则不大。后来又补测了 D-葡萄糖酸 δ -内酯, 1mmol/L 完全抑制酶活力。

(三) 酶的底物特异性

以 β -葡萄糖苷酶水解 pNP- β -glc 的活力为标准, 计算酶对其他底物的相对水解活力(表 3)。结果表明, β -葡萄糖苷酶对纤维二糖的水解活力最高, 对 pNP- β -glc、水杨素等葡萄糖苷也有较高的水解活力。该酶对 pNP- β -xyl、pNP- β -gal 等多种对-硝基酚基糖苷, 对 CMC、 β -1,2-葡聚糖、地衣多糖、昆布多糖、石脉素及木聚糖均无水解作用, 因而为一种专一水解寡聚 β -葡萄糖及 β -葡萄糖苷底物中的 β -葡萄糖苷键的酶。该酶的底物特异性与粉状侧孢菌^[6]、黑曲霉 (*Asp. niger*)^[7] 等来源的对纤维二糖、pNP- β -glc 均有水解作用的 β -葡萄糖苷酶相似, 而不同于只能水解纤维二糖的如血痕革革菌

(*Stereum sanguinolentum*)^[8] β -葡萄糖苷酶, 或只水解芳基 β -葡萄糖苷的某些酵母^[9] β -葡萄糖苷酶。葡萄德霉 (*Stachybotrys atra*)^[10]、三侧毛壳菌 (*Chaetomium trilaterale*)^[11] 等来源的 β -葡萄糖苷酶对纤维二糖、木二糖、pNP- β -glc、pNP- β -xyl 等底物均有较高的水解作用, 这与海枣曲霉 β -葡萄糖苷酶的底物特异性不太相同。Sternberg 等也报道从海枣曲霉中提纯到 β -葡萄糖苷酶, 但该酶对地衣多糖等 β -葡聚糖也有水解作用^[12], 比本实验的 β 葡萄糖苷酶的底物特异性要宽。

表 2 各种碳水化合物对酶活力的影响

Table 2 Effect of various carbohydrates on the activity of β -glucosidase

碳水化合物 Carbohydrate(10mmol/L)	相对活力 Relative activity(%)
对照 Control	100
D-阿拉伯糖 D-arabinose	102.9
L-阿拉伯糖 L-arabinose	99.6
D-木糖 D-xylose	104.1
L-岩藻糖 L-fucose	97.4
D-半乳糖 D-galactose	100.5
D-葡萄糖 D-glucose	24.1
纤维二糖 Cellobiose	15.0
乳糖 Lactose	99.3
麦芽糖 Maltose	82.6
木糖醇 Xylitol	99.7
山梨醇 Sorbitol	89.6
半乳糖醇 Dulcitol	100.2
水杨素 Salicin	65.3
D-葡萄糖酸- γ -内酯	77.2
D-glucono- γ -lactone	
D-半乳糖酸- γ -内酯	95.6
D-galactono- γ -lactone	
甘油 Glycerin	93.2

(四) 酶的动力学参数

分别于 60 ℃ 和 pH5.0 的 0.05mol/L 柠檬酸-Na₂HPO₄ 缓冲液中测定该酶水解不同浓度的 pNP- β -glc 和纤维二糖的活力, 将测定结果按 Woolf 法作图 (图 1—2) 求得 β -葡萄糖苷酶水解上述两种底物的 K_m 值分别为 0.97mmol/L 和 1.8mmol/L; 最大反应速度 V_{max} 分别为 576 $\mu\text{mol}\cdot\text{min}^{-1}\cdot\text{mg}^{-1}$ 蛋白和 595 $\mu\text{mol}\cdot\text{min}^{-1}\cdot\text{mg}^{-1}$ 蛋白。

表 3 酶的底物特异性

Table 3 Substrate specificity of β -glucosidase

底物 Substrate	相对活力 (%) Relative activity	底物 Substrate	相对活力 (%) Relative activity
pNP- β -glc	100	CMC	0
pNP- β -xyl	0	β -1,2-葡聚糖 β -1,2-glucan	0
pNP- β -gal	0	地衣多糖 Lichenin	0
pNP- β -fuc	0	昆布多糖 Larminarin	0
pNP- α -gal	0	石耳素 Pustulan	0
pNP- α -glc	0	半乳甘露聚糖 Galactomannan	0
纤维二糖 Cellobiose	180	稻草木聚糖 HB	0
水杨素 Salicin	67	Rice straw xylan HB	

(五) D-葡萄糖的抑制类型与抑制常数

1. Lineweaver-Burk 作图法：按测 K_m 值的同样方法测定存在抑制剂与否时（抑制剂的终浓度为 2.5mmol/L, pNP- β -glc 的浓度为 0.2—5mmol/L）酶的水解活力，并计算反应速度。将结果按 Lineweaver-Burk 法作图（图 3）。反应体系中存在不存在 D-葡萄糖时， β -葡萄糖苷酶水解 pNP- β -glc 的双倒数曲线显示，D-葡萄糖对 β -葡萄糖苷酶有竞争性抑制作用，抑制常数 K_i 为 3.0mmol/L。

2. Dixon 作图法：按常法于 65 °C 测定反应体系中存在 0—15mmol/L D-葡萄糖时 β -葡萄糖苷酶水解 1mmol/L 和 2mmol/L pNP- β -glc 的活力。将结果按 Dixon 法作图（图 4）。结果表明，D-葡萄糖对 β -葡萄糖苷酶显示竞争性抑制作用，其 K_i 值为 3.4mmol/L。

上述结果表明，由 Lineweaver-Burk 作图法与 Dixon 作图法所得结果基本一致。

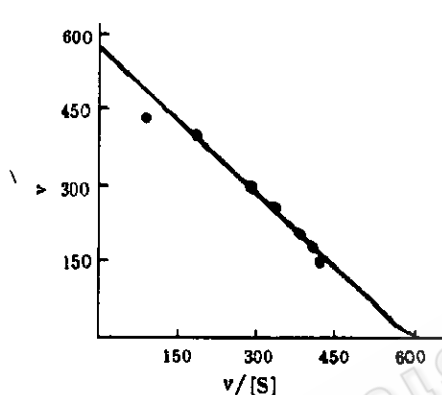


图 1 β -葡萄糖苷酶对 pNP- β -glc 水解的 Woolf 图

Fig. 1 Woolf plot for the hydrolysis of pNP- β -glc by β -glucosidase

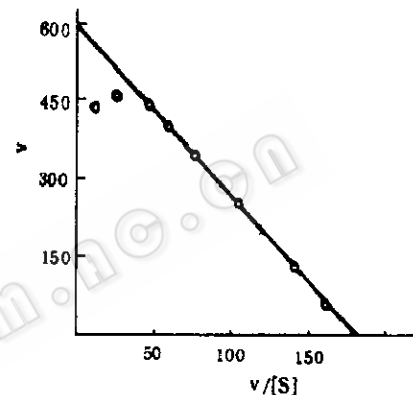


图 2 β -葡萄糖苷酶水解纤维二糖的 Woolf 图

Fig. 2 Woolf plot for the hydrolysis of cellulose by β -glucosidase

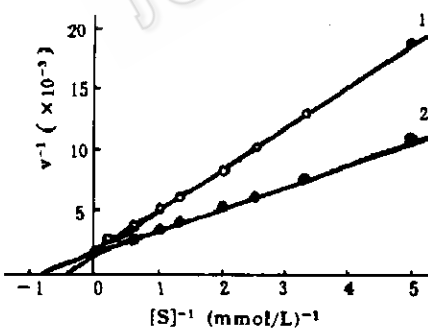


图 3 D-葡萄糖存在时， β -葡萄糖苷酶水解 pNP- β -glc 的 Lineweaver-Burk 图

Fig. 3 Lineweaver-Burk plot for the hydrolysis of pNP- β -glc by β -glucosidase in the presence of D-glucose

1. D-葡萄糖 D-glucose; 2. 对照 Control

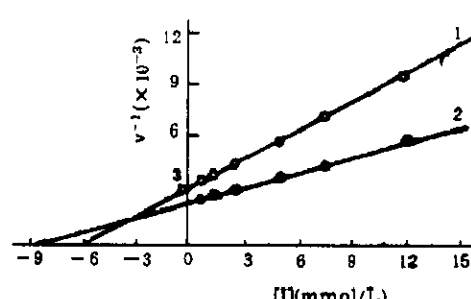


图 4 D-葡萄糖对 β -葡萄糖苷酶抑制作用的 Dixon 图

Fig. 4 Dixon plot for the inhibition of D-glucose on β -glucosidase

pNP- β -glc concentration: 1. 1mmol; 2. 2mmol/L

参 考 文 献

[1] 曾宇成、张树政：微生物学报，29(3), 195—199, 1989。

- [2] 曾宇成、张树政: 生物化学杂志, 3, 552—560, 1987。
- [3] 曾宇成、张树政: 生物化学杂志, 4(2), 109—115, 1988。
- [4] Warkman, W. E. and D. F. Day: *Appl. Environ. Microbiol.*, 44:1289—1295, 1982.
- [5] Shemale, J. G. and J. C. Sadana: *Archa. Biochem. Biophys.*, 207:185—196, 1981.
- [6] Deshpande, V. et al.: *Eur. J. Biochem.*, 90:191—198, 1978.
- [7] King, K. W. et al.: *Appl. Microbiol.*, 11:315—319, 1963.
- [8] Bucht, B. and K. E. Eriksson: *Archs. Biochem. Biophys.*, 128:419—420, 1969.
- [9] Woodward, J.: *Enzyme Microb. Technol.*, 4:73—79, 1982.
- [10] Gussem, R. D. et al.: *Biochim. Biophys. Acta.*, 529: 142—153, 1978.
- [11] Uziie, M. et al.: *Agr. Biol. Chem.*, 49: 1159—1166, 1985.
- [12] Sternberg, D. et al.: *Can. J. Microbiol.*, 23:139—147, 1977.

CATALYTIC PROPERTIES OF β -GLUCOSIDASE FROM *ASPERGILLUS PHOENICIS*

Zeng Yucheng Zhang Shuzheng

(Institute of Microbiology, Academia Sinica, Beijing 100080)

Substrate specificities and inhibitors of the purified β -glucosidase from *Aspergillus phoenicis* were investigated. The relative activity of β -glucosidase toward p-nitrophenyl β -glucoside, cellubiose and salicin were 100, 180 and 67.3. The K_m values for p-nitrophenyl β -glucoside and cellubiose were 0.97mmol/L and 1.8mmol/L, respectively. The V_{max} values were $576\mu\text{mol}\cdot\text{min}^{-1}\cdot\text{mg}^{-1}$ and $595\mu\text{mol}\cdot\text{min}^{-1}\cdot\text{mg}^{-1}$, respectively. The enzyme activity was inhibited by Ag^+ , D-glucose, cellubiose. The K_i for D-glucose was 3.0 mmol/L (3.4 mmol/L) as determined by Leneweaver-Burk plot (Dixon plot). The enzyme was strongly inhibited by D-glucono- δ -lactone.

Key words *Aspergillus phoenicis*; β -glucosidase; Substrate specificity; Inhibitors